

دراسة تشكل وبنية الطور البلوري

الميكرومسامي $Alpo_4 \cdot 5$

د. ابراهيم راهب

□ ملخص □

تم في هذه المقالة دراسة بنية الزيوليت (zeolite) فوسفات الألミニوم $Alpo_4 \cdot 5$ وآلية تشكيله أثناء عملية تصنيعه بالمعالجة الحرارية (hydrothermally) وذلك باستخدام مجموعة من الطرق الفيزيو كيميائية مثل $X-ray$, دراسة مورفولوجيا السطح بالمحرر الإلكتروني، الأشعة تحت الحمراء IR والتحليل التناضلي الحراري DTA . يتكون مزيج التفاعل من جملة أكسيد الألミニوم المائي، أكسيد الفوسفور، الماء، ثلاثي إيتيل أمين (TEA)، وذلك في مجال حراري (373-473K). كما أن ارتفاع درجة الحرارة يؤدي إلى زيادة سرعة البلورة. وتبلغ قيمة طاقة تشيط عملية البلورة حوالي 250 KJ/mol . والطور المشكّل $Alpo_4 \cdot 5$ يتبلور على شكل تجمعات كروية تتّألف من بلورات موشورية إذ تزافق عملية التبلور بزيادة حجم المسام الكلي والخارية على جزيئات الأمين.

*الدكتور ابراهيم راهب مدرس في قسم الكيمياء بكلية العلوم - جامعة تشرين - اللاذقية سوريه.

مقدمة:

PO₄ وتحتوي هذه البنية على مسامات قطرها 8A° (4).

تلخص طريقة تصنيع الزيوليت Alpo₄-5 بالشكل التالي:

يتم مزج أكسيد الألミニوم المائي مع حمض الفوسفور المركز (وذلك بعد تحديد نسبة الأوكسيد النقيه وتحديد تركيز الحمض بدقة) بوجود كمية قليلة من الماء، وهذه الكمييات مأخوذة وفق العلاقة المولية التالية:

1Al₂O₃:1P₂O₅:40H₂O وهي المرحلة الأولى. يحرك المزيج ببطء حتى التجانس ثم يُضاف إلى هذا المزيج أساس عضوي أو أحد أملاح الأمونيوم الرباعية وفي حالتنا هذه استخدمنا ثلاثي ميثيل أمين N(C₂H₅)₃ وفق العلاقة المولية 1.5TEA:1Al₂O₃ العامل المشكل للبنية (Templat) ويُحرك المزيج حتى التجانس وهي المرحلة الثانية، أما المرحلة الثالثة فهي البلورة وذلك بالمعالجة الحرارية، وقد أجريت عملية البلورة في وعاء من الستانلس غير القابل للصدأ ومحكم الإغلاق، والحاوي بداخله على كأس مقاوم للحرارة وحامل كيميائياً مصنوع من مادة التيفلون. ثم أجريت عملية البلورة في مجال حراري 373K-473K خلال زمن يتراوح 1-24 ساعة.

وبعد انتهاء المعالجة الحرارية تم فصل الطورين الصلب والسائل، ثم غسل الطور

في عام 1982 ظهرت أول مقالة حول تصنيع نوع جديد من فوسفات الألミニوم البلوري الميكرومسامي ويرمز لهذه الفصيلة بـ Alpo_{4-n} حيث n - عدد يشير إلى رقم البنية (قطر المسام وحجمه ونوع الأساس المستخدم في عملية التصنيع). هذه الفصيلة تنتمي إلى مجموعة مركبات الأكسيد المشتركة التي تزداد أهميتها في الصناعة وخاصة استخدامها في عمليات التكسير الحفرى للنواتج النفطية وعمليات البلمرة والتماثر والألكله وتنقية المركبات وفصلها، إنَّ بنية هذه المركبات تشبه بنية الزيوليتات (zeolites) (1,2)، وهذا النوع يلقى في الوقت الراهن اهتماماً كبيراً من قبل العلماء ويشكل مادة أساسية للدراسات العملية وذلك لكون هذه المركبات تتألف من بنية بلورية تحتوي على مسامات دقيقة أبعادها من مرتبة أبعاد الجزيئات لذلك تُسمى بالمرشحات الجزيئية (Molecular Sieves) وأيضاً لأهميتها في إمكانية استخدامها في عمليات الإمتصاص أو استخدامها كوسائل أو حامل للواسط (3). إنَّ بنية الزيوليت Alpo₄₋₅ ليس لها بنية مشابهة في الزيوليتات الطبيعية أو الإصطناعية وهي تحتوي على قنوات غير متقطعة والتي تتشكل من تقاطع اثنى عشر ذرة أكسجين رباعيات الوجوه AlO₄ و

إن قيمة n تتعلق بتغير سرعة تشكل النوى الأولية للطور البلوري بدلالة الزمن، وبشكل عام فإن $n=4$ إذا كانت سرعة تشكل النوى الأولية وعموماً البلورات ثابتة، أما إذا كانت إحداهما متزايدة مع الزمن فإن $n < 4$ وتكون $n > 4$ إذا كانت إحدى السرعتين متناقصة وفي حالة وجود كثیر من الزيوليتات $n < 4$. لإيجاد قيمة كل من n و k نستخدم الشكل الخطي للمعادلة (1):

$$\ln \ln \frac{1}{1-z} = \ln k + n \ln \tau \quad (2)$$

وفي حالتنا هذه حصلنا على قيمة $n=3.1$ ومن أجل الدرجة $413K$ فإن $k = 2.63 \cdot 10^{-4} \text{ s}^{-3}$ وعما أن $n < 4$ هذا

يدل على أنه تتناقص سرعة تشكل النوى الأولية للطور البلوري مع الزمن أي أنَّ معظم هذه النوى تتشكل في بداية مرحلة المعالجة الحرارية، وقد أكدَ باريرو وآخرون (5) بأنَّ معادلة كولغورف تصف المنحنى التجريبي بشكل جيد حتى $z = 0.8$ ولذلك وباستخدام القيمة المستخرجة لـ n تم تحديد الثوابت k من أجل درجات الحرارة الأخرى حيث عند $z = 0.81$ للدرجة $433K$ و $z = 0.76$ للدرجة $453K$ تكون قيم الثوابت على

الشكل

التالي:

$$k_{453} = 0.166 \text{ h}^{-3}, k_{433} = 6,43 \cdot 10^{-3} \text{ h}^{-3}$$

الصلب بالماء المقطَّر وجفف في الدرجة $105^\circ C$.

وقد بيَّنت دراسة العينات بالأشعة السينية في مختلف مراحل التفاعل أنها تملك بنية غير بلورية في المراحلين الأولى والثانية وبنية بلورية في المرحلة الثالثة نتيجة تشكل الطور $\text{AlPO}_4 \cdot 5$ الشكل (1).

بعد ذلك درسنا العلاقة الحركية لدرجة التبلور بدلالة زمن التفاعل وذلك باستخدام الأشعة السينية بعد إدخال مادة قياسية معروفة البنية وبنسب معلومة ولا تملك بنية بلورية ومزجها مع عينة الطور $\text{AlPO}_4 \cdot 5$ المحضر خصيصاً لهذه الغاية والكامل التبلور. بعد ذلك أخذ طيف الأشعة السينية ورسمنا المنحني القياسي لنسبة البلورة بدلالة نسبة المادة القياسية التي أدخلت وهي أوكسيد الألミニوم. استخدمنا هذا المنحني لتحديد نسبة البلورة في عينات الدراسة الحركية، فحصلنا على المنحني الحركي من أجل درجات حرارة مختلفة $413K, 433K, 453K$ الشكل (2). يمكن وصف هذه المنحنىات بمعادلة كولغورف (5):

$$Z = 1 - \exp(-k\tau^n) \quad (1)$$

حيث:

Z - النسبة المئوية للطور البلوري المشكل.

τ - زمن التفاعل (ساعة).

k, n - ثوابت.

1405 و 1480 تعزى إلى وجود الشكل الميرن ثلاثي إيتيل الأمين وارتباطه مع الشبكة البلورية (8). وفي المجال 1640cm^{-1} إلى وجود مجموعات OH^- (7). أما في المجال 3000cm^{-1} - 2600cm^{-1} فإنَّ الفعاليات تدل على وجود الأمين بشكل ملح أميني نتيجة تفاعل الأساس المضاف مع المراكز الحمضية المختلفة لفوسفات الألミニوم (13).

وبدراسة الطور المشكّل $\text{Alpo}_4\text{-5}$ بوساطة التحليل التفاضلي الحراري DTA حيث سرعة تغير درجة الحرارة كانت 10 deg. min^{-1} تبيّن أنَّ المكونات الطيارة للطور $\text{Alpo}_4\text{-5}$ تنطلق؛ ويرافق ذلك امتصاص للحرارة حيث تظهر قمتان الأولى في المجال 110°C - 100°C والثانية 225°C - 250°C الشكل (5)، إنَّ القمة الأولى يمكن نسبتها إلى انطلاق جزيئات الماء المتّرة فيزيائياً والثانية تدل على انطلاق جزيئات TEA وماء التبلور.

لقد درس مؤلفو (14) الخواص الإمتزازية لـ $\text{Alpo}_4\text{-5}$ وذلك بامتزاز الآزوت في درجة حرارة الآزوت السائل وتبين أنَّ جزيئة TEA تقع ضمن مسامات الشبكة البلورية وتنطلق أثناء التسخين والتي تقود إلى تفريغ المسامات بشكل كامل في مجال درجة الحرارة 350°C - 200°C وهذا يتطابق مع نتائج DTA التي حصلنا عليها. ويُمكن أن تُعزى

وقد استخدمنا هذه القيم بالإضافة إلى القيمة k_{413} لحساب طاقة تنشيط عملية بلورة الطور $\text{Alpo}_4\text{-5}$ بافتراض أنَّ:

$$\ln k = -\frac{E_a}{R} \frac{1}{T} + \text{const} \quad (3)$$

ونتيجة ذلك حصلنا على قيمة $E_a = 250 \text{ KJ/mol}$ وهي قيمة كبيرة وذلك يعود لتشكل الطور البلوري $\text{Alpo}_4\text{-5}$ ، ونلاحظ من الشكل (3) حيث الصور الإلكترونية للطور الناتج أنَّ هذا الطور يتكون من جسيمات كروية بقياس $30 - 20 \mu\text{m}$ تترسب لتشكل تجمعات كبيرة الشكل (3a)، وهذه التجمعات تتألف بدورها من بلورات صغيرة موشروية الشكل (3b) كما أنَّ اتحاد هذه البلورات في تجمعات أكبر يُساهم بشكل كبير في زيادة الطاقة السطحية للنوى.

إنَّ دراسة الطور المشكّل $\text{Alpo}_4\text{-5}$ بوساطة طيف الأشعة تحت الحمراء IR الشكل (4) تبيّن أنَّ قمة الامتصاص الأعظمية والعريضة في المجال 1400cm^{-1} - 1100cm^{-1} تُشاهد في طيف فوسفات الألミニوم وتُعزى إلى وجود المجموعات $\text{TO}_4(\text{T}) = \text{p,Al}$ الموجودة في البنية البلورية وغير البلورية (9 ، 8 ، 7). فلأنّ (10) يعتقد أنَّ قمة الامتصاص 1140cm^{-1} تدل على اهتزاز الارتباطات الخارجية لرباعيات الوجوه. ويرى بعض المؤلفين (12 ، 11) أنَّ هذه القمة مرتبطة بوجود الرابطة $\text{P-O}-$ ل رباعي الوجوه PO_4 إنَّ قمم الامتصاص في المجال

جزيئات الماء وشوارد الهيدروكسيل من بولимер فوسفات الألミニوم ويؤدي ذلك إلى إبطاء عملية الخلمة بشكل ملحوظ، وبالتالي فإنّ المرحلة التي تحدد تفاعل تشكّل أورثو فوسفات الألミニوم هي عملية انتشار جزيئات الماء و OH^- إلى بوليمير فوسفات الألミニوم(15).

من خلال نتائج التحليل الكيميائي للطوريين الصلب والسائل بعد المعالجة الحرارية(15) تبيّن أنّ الأطوار البلورية تتشكل عندما يكون تركيب الطور السائل يدل على وجود بوليمير فوسفات الألミニوم وتكون العلاقة بين الأوكسيدين تقريباً ثابتة وتتراوح ما بين. ($P_2\text{O}_5 / Al_2\text{O}_3 = 2 - 2,5$) أما من أجل تشكّل الطور $Alpo_4-5$ فعلى الرغم من وجود البوليمير لا بدّ من وجود عامل آخر وهو الأساس العضوي.

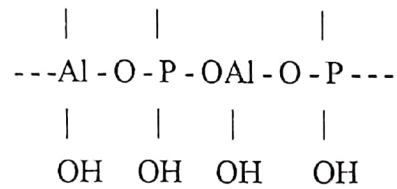
ويجب التنويه إلى أنّ بنية الطور $Alpo_4-5$ تختلف عن بنية أورثو فوسفات الألミニوم المائية في الحالة الأولى لأنّ الألミニوم يملك بنية رباعي الوجوه فقط (عدد التساند مساوياً 4) أما في الحالة الثانية فإنّ الألミニوم يوجد على شكل رباعي وثماني وجوه (عدد التساند 4 و6)، بالإضافة إلى أنّ البلورات في الحالة الأولى تتوضع بشكل فراغي يحتوي على مسامات داخلية أما في الحالة الثانية فتتوتر على شكل طبقات مستوية لا تحتوي على مسامات داخلية، وقد أكدّت الدراسات بواسطة (16)

حرارة انطلاق الجزيئات TEA إلى عاملين أساسين:

أولاً: وقوع جزيئ TEA داخل مسامات $Alpo_4-5$ أثناء تشكّل هذا الطور وذلك في مرحلة تشكّل النوى الأولية.
ثانياً: تشكّل ارتباط قوي مع مراكز معينة للشبكة البلورية. إنّ القطر الحركي لجزيئ TEA يساوي $7,8\text{\AA}$ وهو قريب من قطر المسام في البنية البلورية لـ $Alpo_4-5$ البالغ 8\AA .

مناقشة النتائج:

إنّ وجود الجملة (أكسيد الفوسفور، أكسيد الألミニوم، H_2O) في شروط المعالجة الحرارية يزيد من فعالية جزيئات الماء وبالتالي زيادة تركيز الشوارد H^+ و OH^- والتي هي ضرورية لحملة فوسفات الألミニوم البوليميرية التي لها الصيغة



ويزيد من ادخال أكسيد الألミニوم المستخدم في عملية الإصطناع، إضافة الأمين تؤدي إلى ازدياد قيمة PH وفي الوقت نفسه تجري عملية ارتباط الأمين على المراكز الفعالة لفوسفات الألミニوم البوليميرية، كما الجذور الهيدروكربونية للأمين المتواجد تملك خاصة هيدروفوبية وبالتالي تعيق عملية اقتراب

الألミニوم. وهناك أيضًا وجود عقدات فوسفات الألミニوم. في وسط التفاعل تساهم في تشكيل البنية المسامية $\text{AlPO}_4 \cdot 5$ حيث تكون مرتبطة بها جزيئات TEA. وأنباء تشكل الطور $\text{AlPO}_4 \cdot 5$ فإن هذه العقدات يجب أن ترتبط مع بعضها بشكل تصبح فيه جزيئة TEA داخل النواة الأساسية وما يعيق هذه العملية وجود الجذور الهيدروكربونية، واحتمال تشكل هذا الارتباط ضعيف لكنه يزداد بشكل ملحوظ مع ارتفاع درجة الحرارة وهذا مما يعطي مساهمة إضافية في القيمة الكبيرة لطاقة التنشيط.

ويلاحظ أن جزيئات TEA المتزرة على المجموعات الهيدروكسيلية الموجودة على سطح النوى المتشكلة من الطور $\text{AlPO}_4 \cdot 5$ تؤدي إلى جعل السطح هيدروفوبي مما يؤدي إلى زيادة التوتر السطحي وبالتالي إلى طاقة تشكل النوى كما يساهم في ازدياد طاقة التنشيط ويفسر أيضًا محاولة تجمع النوى حول بعضها وتشكيل تجمعات كروية الشكل (3).

إن البنية الصحيحة للطور $\text{AlPO}_4 \cdot 5$ يجب أن لا تحتوي على المجموعات الهيدروكسيلية لأنها مؤلفة من تعاقب متظم للرباعيات PO_4^3- و AlO_4^- ، في هذه الحالة إن الشكل المبرهن لـ TEA يمكن أن يكون مرتبطةً مع ذرات الأوكسجين المرتبطة مع الألミニوم والفوسفور بوساطة جسور $\text{O} - \text{Al} - \text{P}$ (الشكل 6). هذا الارتباط يمكن اعتباره

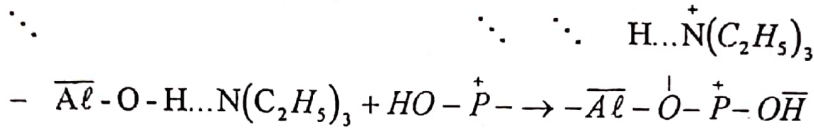
NMR على أن إدخال TEA أثناء عملية الصنبع يؤدي إلى زيادة تركيز الألミニوم بشكل رباعي وجوه. يتشكل الطور $\text{AlPO}_4 \cdot 5$ عندما يكون في وسط التفاعل $\text{PH} > 6$ ، وهذا الطور يحتوي في مساماته الداخلية على جزيئات العامل المشكل للبنية (Templat) وهو هنا TEA ويكون في حالة رباعي وجوه (شكل ميرتن).

ويرتبط بشكل قوي مع الشبكة البلورية وهذا ما تدل عليه نتائج الدراسة بوساطة DTA. ومن خلال التسائج التي حصلنا عليها يمكن اقتراح آلية تشكل الطور البلوري $\text{AlPO}_4 \cdot 5$ أثناء المعالجة الحرارية بوجود TEA على الشكل التالي:

عندما يكون $\text{PH} < 6$ فإن الألミニوم يميل إلى تشكيل بنية رباعي وجوه وهذا يتعلق بوجود شوارد الألミニوم في المحلول بدرجة حلمهة عظمى Al(OH)_4^- . لكن هذا الارتباط غير ثابت حيث أن جزيئات الماء تحاول إكمال البنية إلى ثماني وجوه، إن ثبات البنية Al(OH)_4^- سوف يزداد أثناء امتزاز جزيئات TEA على المجموعات الهيدروكسيلية المرتبطة مع الألミニوم (الشكل 6) وهذا الارتباط يقود إلى زيادة الكثافة الإلكترونية على ذرة الألミニوم ونتيجة لذلك تتناقص قدرته على الارتباط مع جزيئات الماء كي تصبح البنية ثنائية، عدا ذلك فإن الجذور الهيدروكربونية لـ TEA تؤدي إلى خفض احتمال اقتراب جزيئات الماء من ذرة

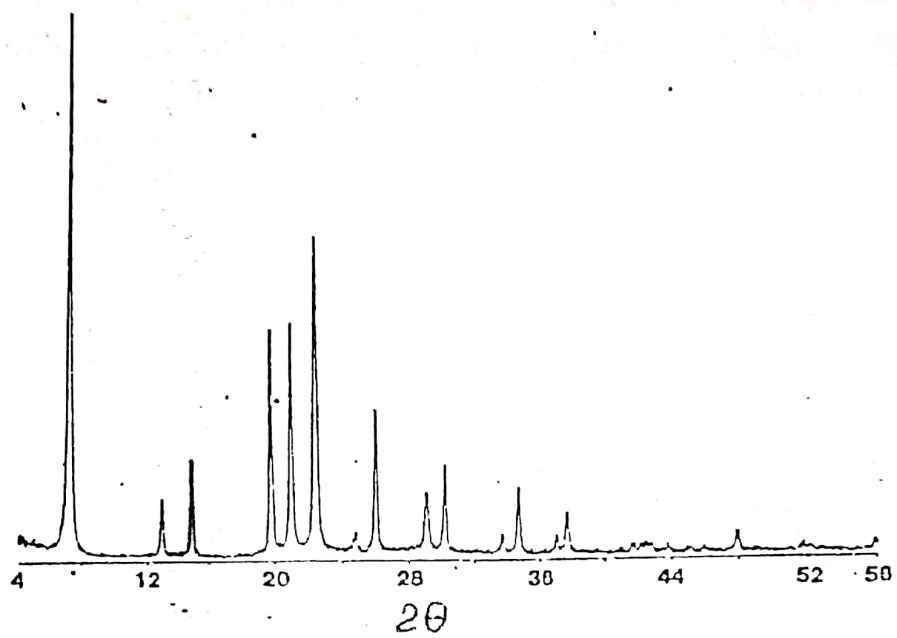
أثناء تشكّل النوى الأساسية.

كتيجة لتكاثف المجموعات Al-OH و -P
و TEA والتي تكون إحداها مربطة مع OH

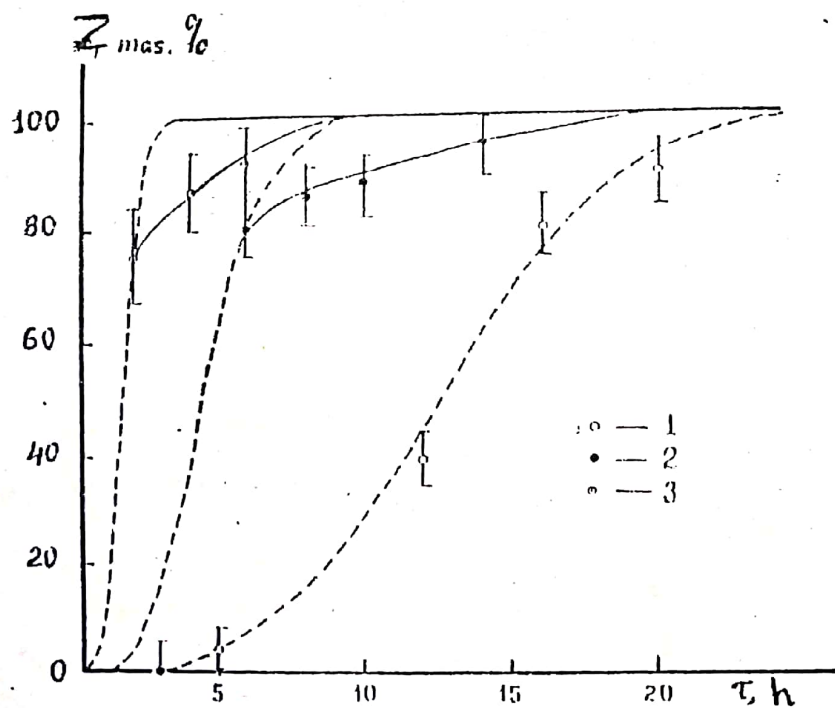


لدرجات حرارة مرتفعة سوف تنطلق جزيئات الأمين وأيضاً جزيئات الماء وهذا يؤدي إلى تفريغ المسامات الداخلية للطور البلوري المتشكل.

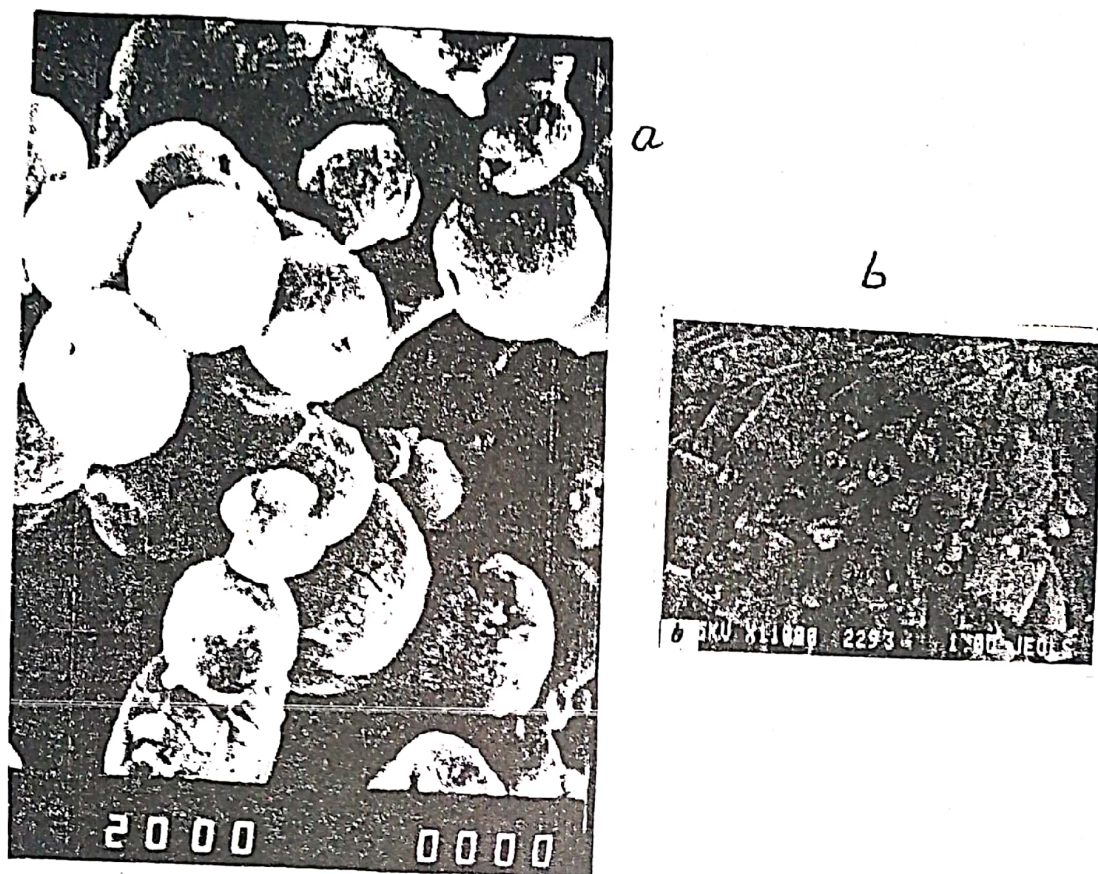
إنَّ شحنة الشكل الميرتن للأمين تتعادل بواسطة شوارد الهيدروكسيل الموجودة في مسامات الشبكة البلورية $\text{AlPO}_4\text{-5}$ ، في هذه الحالة وأثناء تسخين الطور $\text{AlPO}_4\text{-5}$



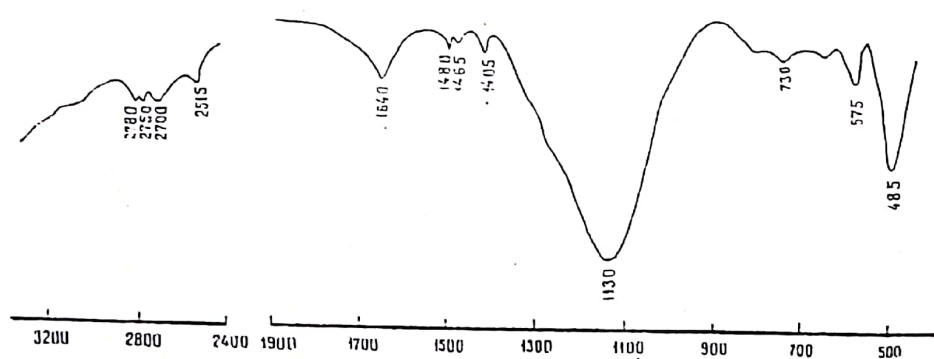
الشكل (1). طيف الأشعة السينية (X-ray) للطور 5 AlPO_4



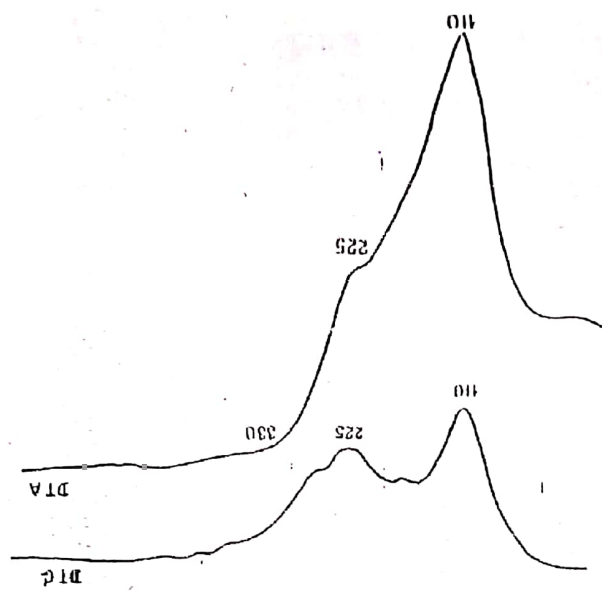
الشكل (2). المنحني الحرکي لتبليور الطور 5 AlPO_4 بوجود TEA
1- 413K , 2- 433K , 3- 453K



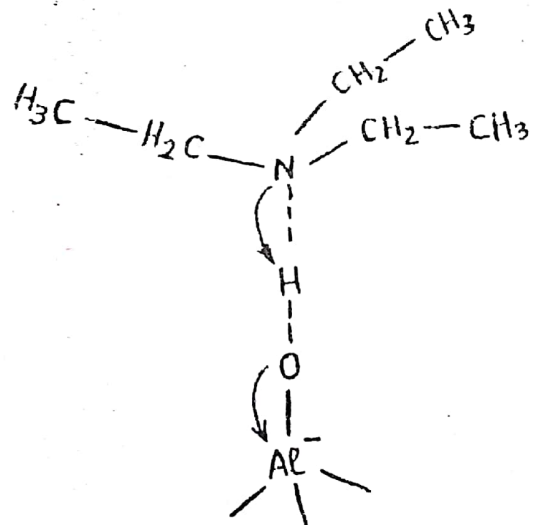
الشكل (3). الصور الإلكترونية لحببيات الطور₅ AlPO_4 الأخضر بوجود TEA.
a- التجمعات البلورية. $20-30 \mu\text{m}$.
b- البلورات المنشورة.



الشكل (4). طيف الأشعة تحت الحمراء IR للطور₅ AlPO_4 بوجود TEA.



الشكل (5). منحنيات التحليل التفاضلي الحراري للطور $\text{AlPO}_4\text{-5}$ بوجود TEA



الشكل (6). آلية تثبيت البنية الرباعية للألミニوم.

ABSTRACT

A novel class of crystalline, microporous aluminophosphate phases represents the first class of molecular sieves with framework oxide compositions free of silica. The novel phases can be synthesized hydrothermally in the presence of organic amines and quaternary ammonium templates.

The crystal structure of $\text{AlPO}_4\text{-}5$ has been well established. It has a novel three-dimensional structure with hexagonal symmetry (cell constants $a = 1.373$ nm, $c = 0.848$ nm, and $\gamma = 120^\circ$, Unit cell composition $12 \text{ AlPO}_4 \cdot n\text{H}_2\text{O}$) and contains one dimensional channels (pore diam. = A °) Oriented parallel to the C-axis and bounded by 12-membered rings composed of alternating AlO_4 and PO_4 tetrahedra.

$\text{AlPO}_4\text{-}5$ was synthesized according to the hydrothermal procedure by crystallizing it from a gel of composition: $1.5 \text{ TEA} \cdot 1.0 \text{ Al}_2\text{O}_3 \cdot 1.0 \text{ P}_2\text{O}_5 \cdot 40 \text{ H}_2\text{O}$. The crystals of $\text{AlPO}_4\text{-}5$ were washed thoroughly with distilled water, filtered, and dried in an air oven at 373K.

REFERENCES

1. Patent (USA). 1982,4.310.44 № , Jon 12.
2. Patent (USA). 1983,4.385.99 № , May 31.
3. Flanigen E.M., Lok B.M., Patton R.L., wilson S.T. 1986. "New Development in Zeolite Science and Technology". proc. 7th Intern. Zeolite conf. Tokyo.Aug,17 - 22. Tokyo, Amsterdam a.a,1986. p.103.
4. Dworezkov G.,Rumplmayr G.,Mayer H.,Lercher J.1984,"Adsorbtion and catal. Oxide Surface". proc.symp. Uxbridge,June 28 -29. Amsterdam e.a, 1985.p.163.
5. Barrer R.M., 1982. Hydrothermal chemistry of Zeolitea.
6. Jdanov C.P., Samolerich N.N., 1981. Synthetic Zeolite.
7. Zineyk R.U., Ballikov A.G.,Gavrelenko I.B., Shevyakov A.M. 1983., "Ir-Spectroscopy in Inorganic Technology">> Chemistry .P.160.
8. Misheva E.P., 1988. Structural Investigations of Hydroxy Aluminium phosphates Obtained from 5- hydroxy dialuminium Chlorid and Monosodium phosphateu.Lecture in Bulgaria Academy of Science, T.41, 1 №2, P.57-60.
9. Rathasamy P.,Kilkarni S.B., Shiralkov V.P.1986. Synthesis and Characterization of L - type Zeolites. Rec.Adv. Catal. and Catal.React.Eng., Hyderabad, P.111 - 117.
10. Flanigen E.M. 1976./Study of Structure of Zeolites with Method Ir-Spectroscopy/. Zeolite Chemistry and Catalysis / Red. Rabo J.A., T.1.
11. Corbridge D.E., Lowe E.J. 1954. The Infra-red Spectra and some Inorganic phosphorus Compounds. J.Chem.Soc. №2. P.493 - 502.

12. Gelsthorpe M.R., Teocharis C.R. 1986. The Efficient Removal of Organic Templating Molecules from Aluminophosphate Molecular Sieves, J.Chem. Soc., Chem.Commun., P.781 - 782.
13. Bellamy L. 1963. Ir-Spectroscopy Complicated Molecules. Publish. foreign liter. P.379.
14. Dworezkov G.A., Kuzenitsova E.I., Frolov Y.G., 1986. Porous Structure of Aluminophosphate molecular Sieves. Coll.J. T.48, N3. P. 542 - 546.
15. Raheb I. 1991.Ph.D thesis, Moscow,Inst.MXTI.
16. Lahn E., Mullur D.,Wieker W. 1989. On the Synthesis of the Aluminoposphate Molecular Sieves $\text{AlPO}_4\text{-}5$. Zeolite, V.9, May,P.177.